

تهیه نانوچندسازهای گرافن-چارچوب فلز-آلی مبتنی بر بیسموت با روش کندگی لیزری در مایع و ویژگی‌های نوری و فعالیت پادباکتری آن‌ها

نگار معتکف کاظمی^{۱*}، فربیدون عطایی^۲ و داود درانیان^۳

۱. دانشیار گروه نانوفناوری پزشکی، دانشکده علوم و فناوری‌های نوین، علوم پزشکی تهران، دانشگاه آزاد اسلامی، تهران، ایران.
۲. دکتری تخصصی آزمایشگاه لیزر، مرکز تحقیقات فیزیک پلاسما، واحد علوم و تحقیقات، دانشگاه آزاد اسلامی، تهران، ایران.
۳. استاد آزمایشگاه لیزر، مرکز تحقیقات فیزیک پلاسما، واحد علوم و تحقیقات، دانشگاه آزاد اسلامی، تهران، ایران.

دریافت: آبان ۱۴۰۱ بازنگری: دی ۱۴۰۱ پذیرش: بهمن ۱۴۰۱

 10.30495/JACR.2023.1972796.2066

چکیده

از روش کندگی لیزری تپی (PLA) برای نخستین بار برای سنتر نانوچندسازهای گرافن و چارچوب فلز-آلی مبتنی بر بیسموت (Bi-MOF) در محیط مایع استفاده شد. در این کار، نانوساختارهای Bi-MOF با کندگی لیزری یک هدف بیسموت به عنوان مرکز اتصال، بنزن ۱,۳,۵-تری کربوکسیلیک اسید (BTC) به عنوان یک لیگاند پلزن، و متانول (MeOH) و دی‌متیل فرمامید (DMF) به عنوان حلال سنتز شدند. در مرحله نخست سه نمونه نانو ساختار Bi-MOF در سه غلظت متفاوت لیگاند تولید شد. سپس نانوچندسازهای گرافن-MOF با کندگی لیزر تپی Nd:YAG از هدف گرافیت در سه نمونه نانوساختار Bi-MOF به دست آمده، تولید شد. نانوچندسازهای با پراش پرتو ایکس (XRD) برای مطالعه ساختار بلوری، طیفسنجی فروسرخ تبدیل فوریه (FTIR) برای تعیین گروه‌های عاملی، میکروسکوپ الکترونی روبشی گسیل میدانی (FESEM) و میکروسکوپ الکترونی عبوری (TEM) برای ریخت‌شناسی، طیفسنجی مرئی-فرانفس (UV-Vis) برای تعیین فاصله نوار ارزیابی شدند. فعالیت پادباکتری اشرسیاکلی (E. coli) به عنوان باکتری گرم منفی و استافیلوکوکوس اورئوس (S. aureus) به عنوان باکتری گرم مثبت بررسی شد. برپایه نتیجه‌ها، کندگی لیزر تپی روشنی دوستدار محیط‌زیست و قادر به تولید نانوچندسازهای گرافن-MOF در مدت زمان کوتاه است. این نانوساختارها می‌توانند کاربردهای گسترده‌ای از جمله در بی‌اثرسازی باکتری‌های مضر داشته باشند.

واژه‌های کلیدی: کندگی لیزر، چارچوب فلز-آلی، گرافن، نانوچندسازه.

مقدمه

نانوذرهای روی اکسید [۲۶] و تیتانیم دی‌اکسید [۲۷] به کارگرفته شده است. همچنین، تهیه هیریدهای گرافن اکسید- چارچوب فلز-آلی در دو مرحله شامل رشد درجا چارچوب فلز-آلی بر نانوصفحه‌های گرافن اکسید و فرایند کلسینه‌شدن واپايش شده گزارش شده است [۲۸].

چارچوب فلز-آلی مبتنی بر بیسموت بهدلیل ویژگی‌ها و کاربردهای بسیار در کاتالیست‌ها، ذخیره انرژی، تصویربرداری زیستپزشکی، آزادسازی دارو، سنجش فلورسانس، جذب و جداسازی موردتوجه هستند. [۲۹]. این ترکیب‌ها بهدلیل ویژگی‌های بیسموت مانند شاع بمنسبت زیاد، سمی‌نبودن، سازگاری با محیط‌زیست، میل ترکیبی بالا به اتم‌های اکسیژن و نیتروژن بهتازگی توجه چشمگیری را به خود جلب کرده‌اند [۳۰]. چارچوب فلز-آلی مبتنی بر بیسموت و لیگاند بنزن [۳۱] و سپس، برای نخستین بار این نانوساختار با کندگی لیزر تهیه شد [۲۱]. در این پژوهش، قابلیت دیگر این روش برای تولید نانوچندسازه‌های چارچوب فلز-آلی- گرافن معرفی شده است. بهیان دیگر، در پژوهش پیشین [۲۱] تهیه و ارزیابی چارچوب فلز-آلی مبتنی بر بیسموت و لیگاند بنزن [۳۱] تری-کربوکسیلیک اسید با روش حلال گرمایی سنتز آنها نیز بررسی شد. نتیجه‌ها نشان می‌دهد که روش کندگی لیزر روشی آسان، سریع و سازگار با محیط‌زیست برای سنتز انواع متفاوت نانوچندسازه‌های چارچوب فلز-آلی است.

بخش تجربی

مواد و تجهیزات

فلز بیسموت با خلوص بالا ۹۹ درصد برای تهیه یون Bi^{3+} به عنوان مرکز فلزی، بنزن ۵-تری-کربوکسیلیک اسید به عنوان لیگاند پل‌دهنده، متانول و دی‌متیل‌فرمamید به عنوان حلال از مرک آلمان خریداری شدند.

روش کندگی لیزری^۱ به عنوان روش قابل اعتماد برای تولید ریزساختار و نانوساختار از مواد حجیم است، و نقش امیدوارکننده‌ای در علم مواد برای سنتز نانوساختارها به صورت ساده، تمیز و سریع دارد [۱]. بهتازگی کاربردهای لیزر برای سنتز نانومواد با کاربرد متفاوت در حوزه‌های گوناگون گزارش شده است [۲].

چارچوب‌های فلز-آلی به عنوان بسپارهای کوئوردیناسیونی متخالخل گروه جدیدی از مواد ترکیبی معدنی-آلی متخالخل هستند [۳]، که بهدلیل ویژگی‌های بی‌همتا موردووجه قرار گرفته‌اند [۴]. این ترکیب‌ها کاربردهای متفاوتی در پزشکی [۵]، داروسانی [۶]، درخشندگی [۷]، استخراج [۸]، حسگرها [۹]، پراکندگی رامان [۱۰]، کاتالیست‌ها [۱۱]، الکترونیک [۱۲]، جاذب‌ها [۱۳]، ذخیره‌سازی گاز [۱۴]، جداسازی [۱۵]، تهیه نانوذره‌ها [۱۶] و پادبacterی [۱۷] دارند. چارچوب‌های فلز-آلی با خوش‌های فلزی به عنوان مراکز فلزی و لیگاندهای آلی به عنوان پیوندهای از راه خودآرایی سنتز می‌شوند [۱۸]. چارچوب‌های فلز-آلی را می‌توان با روش‌های متفاوت مانند آب گرمایی، حلال گرمایی، مکانیکی-شیمیایی، الکتروشیمیایی، فracاصوت، ریز موج و ترکیب فracاصوت و ریز موج سنتز کرد [۱۹]. کندگی لیزر در محیط مایع یکی از روش‌های جدید و غیرمعارف برای سنتز چارچوب‌های فلز-آلی در زمان بسیار کوتاه‌تر نسبت به روش‌های معمولی است. امروزه، چارچوب‌های فلز-آلی تولید شده با کندگی لیزر برپایه مرکز فلزی روی [۲۰]، بیسموت [۲۱]، مس [۲۲]، یوروپیم [۲۳] و زئولیت ایمیدازولات چارچوب-۶۷ [۲۴] گزارش شده‌اند.

گرافن یکی از دگرشکل‌های کربن مشکل از ساختار بلوری لانه زنburی دو بعدی با کاربردهای مهم است. بهتازگی نانوصفحه‌های گرافن اکسید با روش کندگی لیزر با موفقیت تولید شده است [۲۵]. این روش برای تهیه نانوچندسازه‌های گرافن اصلاح شده با

1. Laser ablation

2. Allotrope

متفاوت لیگاند BTC در ۴۰ میلی لیتر حلال بررسی شد. با شروع کندگی لیزر و تولید نانوذرهای افزایش مقدار آنها در محیط، تعییرنگ محلول مشاهده و محیط مایع بی رنگ به خاکستری تبدیل شد.

نتیجه‌ها و بحث

طیف‌های فروسرخ تبدیل فوریه

نتیجه‌های FTIR برای نانوساختارهای Bi-MOF تولید شده با روش لیزر در مایع در گزارش پیشین ارائه شده است [۲۱]. طیف FTIR نانوچندسازهای گرافن MOF مبتنی بر بیسموت در گستره ۴۰۰ تا 4000 cm^{-1} با قرص‌های KBr در غلظت‌های متفاوت لیگاند BTC ثبت شد (شکل ۱). ارتعاش‌های کششی O-H در حدود 3400 cm^{-1} مشاهده شد. ارتعاش‌های کششی نامتقارن و متقارن گروه‌های کربوکسیلات به ترتیب در حدود 1650 و 1390 cm^{-1} ثبت شد. نوار حدود 664 cm^{-1} مربوط به ارتعاش‌های گروه‌های O-Bi-O بود. نوار در 516 cm^{-1} به ارتعاش کششی Bi-O ثبت شد. نتیجه طیف‌سنجداری در دمای اتاق، برپایه گزارش پیشین تهیه شد [۲۱]. نانوساختارهای Bi-MOF از گرافن، همچنین، بر پایه گزارش‌ها، نوار 1093 cm^{-1} مشخصه C-O گرافن است [۳۲] که در نتیجه‌ها قابل مشاهده است. از این‌رو، نتیجه‌های FTIR به صورت کیفی سنتر نانوچندسازه‌ها را تایید کرد.

مقایسه طیف‌های گرافن-Bi-MOF و طیف Bi-MOF بیانگر پیدایش نوارهایی در طیف‌های گرافن-Bi-MOF نسبت به طیف Bi-MOF این قله‌ها در عدد موج‌های 1150 ، 1300 ، 1400 و 2900 cm^{-1} شکل گرفته‌اند و نوار موجود در 1600 cm^{-1} نیز پس از تشکیل چندسازه با گرافن، شدت بیشتری یافته است. این نوارها نشانگر حضور ترکیب‌های کربنی مانند C=C و C-H در نمونه‌های ترکیبی با گرافن است.

الگوهای پراش پرتو ایکس (XRD) با پراش‌سنجدار PANalytical Pert Pro بلوری و طیف‌های فروسرخ تبدیل فوریه (FTIR) با طیف‌سنجدار PerkinElmer ساخت آمریکا در بستر KBr به دست آمدند. ریخت‌شناسی نمونه‌ها با میکروسکوپ الکترونی روشنی گسیل میدانی (FESEM) مدل Zeiss-SIGMA VP ساخت آلمان با پوشش طلا و میکروسکوپ الکترونی عبوری (TEM) مدل Zeiss-EM10C-100 KV ساخت آلمان انجام شد. طیف‌های فرابینکش-مرئی (UV-Vis) برای بررسی ویژگی نوری نمونه‌ها با طیف‌سنجدار Shimadzu UV-2550 ساخت ژاپن به دست آمدند. کمینه غلظت باکتری‌کشی (MBC) و کمینه غلظت بازدارنده (MIC) برای مطالعه فعالیت‌های پادباکتری نمونه‌ها ATCC (25922) و استافیلوکوکوس اورئوس به عنوان باکتری گرم مثبت (ATCC25923) استفاده شد.

روش سنتز

نانوساختارهای Bi-MOF¹ با روش کندگی لیزر از راه خودآرایی در دمای اتاق، برپایه گزارش پیشین تهیه شد [۲۱]. هدف بیسموت در یک بشر با 40 میلی لیتر محلول حلال شامل 30 میلی لیتر متانول و 10 میلی لیتر DMF با 0.327 (S1) ، 0.630 (S2) و 1.221 (S3) گرم لیگاند BTC قرار داده شد. هدف با 1500 تپ با دستگاه لیزر تپی Nd:YAG مدل Quantel Brilliant B با طول موج 1064 nm با سرعت تکرار 5 هرتز و عرض تپ 7 نانوثانیه در حالت هم‌زدن مغناطیسی با تپ انرژی 7 J/cm^2 ، تابش داده شد. پرتو لیزر به قطر 6 میلی متر با عدسی محدب با فاصله کانونی 10 سانتی‌متر بر سطح هدف متتمرکز شد. ارتفاع مایع بر سطح هدف در طول فرایند کندگی، 8 میلی متر بود. یک صفحه گرافیتی به تعییقه نانوساختارهای Bi-MOF افروده شد و این هدف با 1500 پالس با شرایط پیشین انجام شد. سه نمونه با غلظت‌های

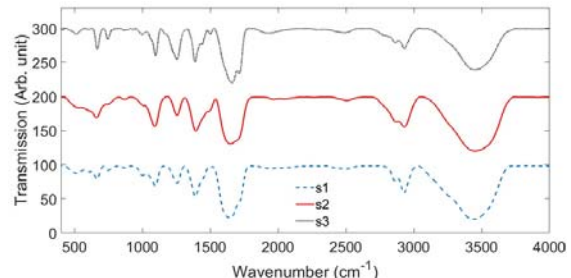
1. Metal-organic framework

برپایه برخی منابع، در الگوی XRD گرافن در $2\theta = 25^\circ$ و 42° برای ساختار بلوری گرافن متناظر با صفحه‌های (۰۰۲) و (۱۰۰) قله‌های ضعیفی وجود دارد [۳۳ و ۳۴] که در الگوهای نمونه‌های سنتز شده در پژوهش حاضر نیز قابل مشاهده است. مقایسه الگوهای پراش پرتو ایکس نمونه Bi-MOF و Bi-MOF نشان می‌دهد که زوایای مربوط به قله‌های نانوساختارهای تولیدی یکسان نیستند. این تفاوت ناشی از تفاوت در مقدار لیگاند پل‌دهنده در نمونه‌هاست. با افزایش مقدار لیگاند در نمونه‌ها موقعیت قله‌های ساخته‌های مربوط در زاویه‌های کوچکتر پدیدار شده‌اند که بیانگر افزایش مقدار d (فاصله بین صفحه‌های بلوری) متناظر است. این پدیده را می‌توان به پیوند لیگاندها با گرافن نسبت داد. بهیان دیگر، با افزایش مقدار لیگاند، گرافن بیشتری در بین صفحه‌های بلوری قرار می‌گیرند و منجر به افزایش فاصله صفحه‌های بلوری می‌شوند.

تصویرهای میکروسکوپ الکترونی

اندازه و شکل نمونه‌ها با میکروسکوپ الکترونی روبشی گسیل میدانی بررسی شد (شکل ۳). با توجه به نتیجه‌ها، نانوساختارهای کروی شکل با سطوح صاف در گستره نانومتری مشاهده شد. همچنین، شکل ۳ نشان می‌دهد که افزایش غلظت لیگاند موجب پیوندهای بیشتر لیگاند و گرافن و در نتیجه افزایش بیشتر گرافن بین ذره‌های بلوری شده است.

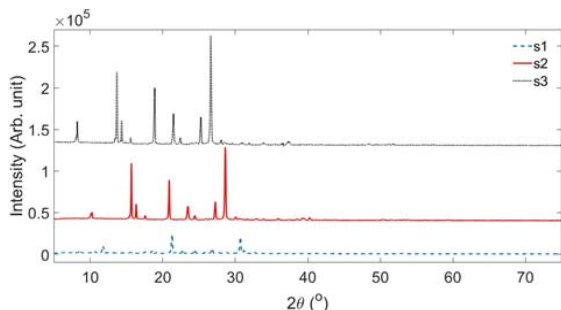
تصویرهای TEM نانوساختارهای کروی شکل به دست آمده (شکل ۴) با تصویرهای FESEM همخوانی داشت. نقاط سیاه در این تصویرها، تولید نانوذره‌های کربنی به دست آمده با کندگی لیزر گرافن را نشان داد و گزارش‌های پیشین را تایید کرد. برپایه این نتیجه‌ها، افزایش غلظت لیگاند موجب افزایش اندازه نانوساختارها شد که موید گزارش‌های پیشین است [۳۵ و ۳۶].



شکل ۱ طیفهای FTIR نانوچندسازهای گرافن-MOF مبتنی بر بیسموت در غلظت‌های متفاوت لیگاند

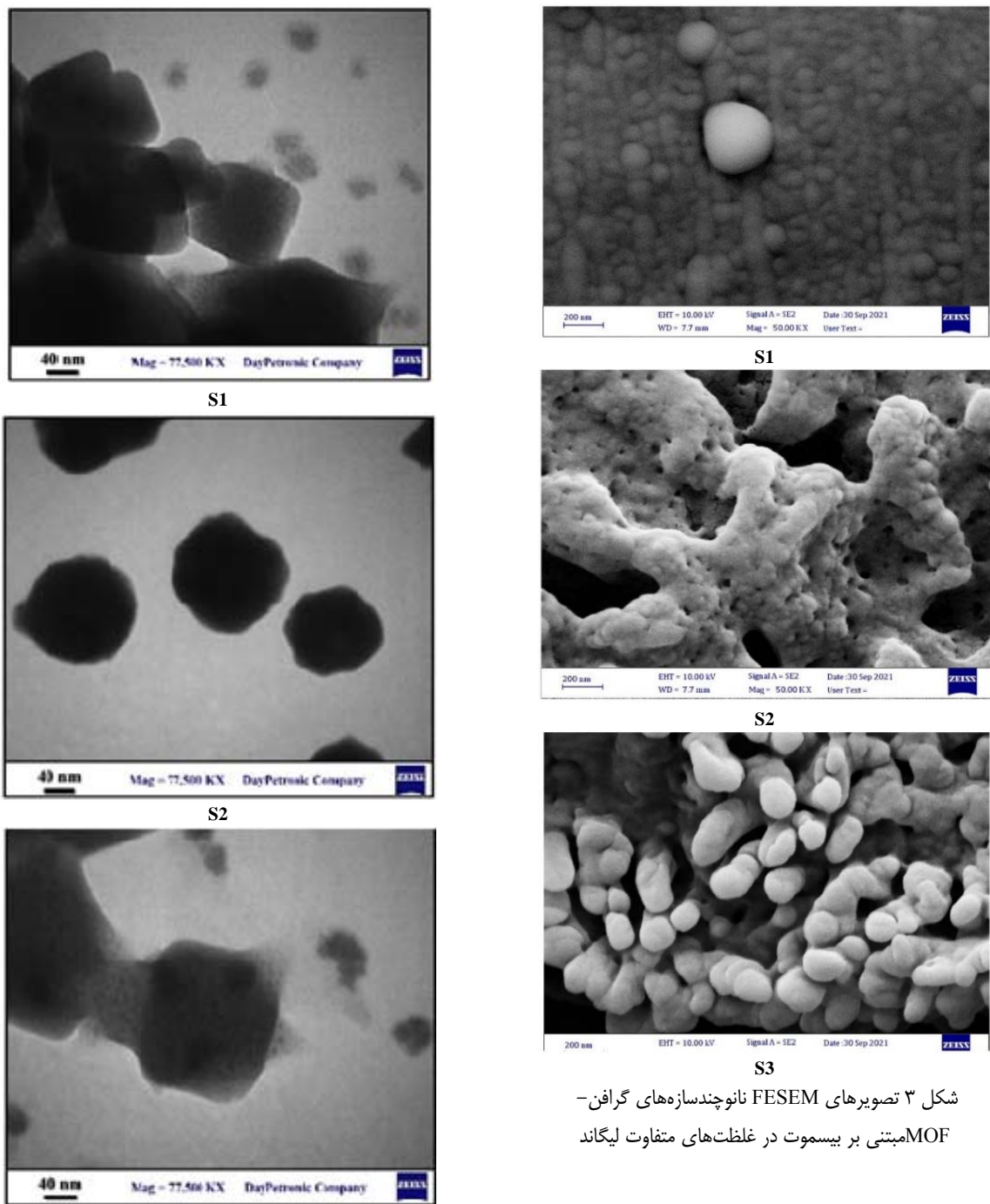
الگوهای پراش پرتو ایکس

الگوهای پراش پرتو ایکس نانوچندسازهای گرافن-MOF مبتنی بر بیسموت تولید شده با غلظت‌های متفاوت لیگاند در محیط مایع کندگی لیزر در گستره $2\theta = 5$ تا 70° برای بررسی ساختار بلوری، در شکل ۲ ارائه شده‌اند.



شکل ۲ الگوهای XRD نانوچندسازهای گرافن-MOF مبتنی بر بیسموت در غلظت‌های متفاوت لیگاند

نمونه‌ها در شرایط مایع با دوز کم با خشک کردن چند قطره از تعلیقه بر یک بستر سیلیکونی ثبت شد. الگوی XRD نمونه‌ها با گزارش پیشین همخوانی دارد [۲۱] که نشان‌دهنده آماده‌سازی موفقیت آمیز نانوچندسازهای با روش کندگی لیزر است. قله پدیدار شده در $2\theta = 28^\circ$ مربوط به پراش فوتون‌های پرتو ایکس از صفحه‌های (۰۱۲) است.



شکل ۴ تصویرهای TEM نانوچندسازه‌های گرافن-MOF مبتنی بر بیسموت در غلظت‌های متفاوت لیگاند

در معادله ۱، ضریب جذب و $h\nu$ انرژی فoton، Eg انرژی نوار نوری و A احتمال انتقال است که می‌توان آن را در گستره فرکانس نوری ثابت در نظر گرفت. مقدار m نشان‌دهنده نوع انتقال است که برابر $1/2, 2, 3/2$ یا 3 به ترتیب برای انتقال‌های الکترونیکی مجاز مستقیم، مجاز غیرمستقیم، منع مستقیم و منع غیرمستقیم است.

برای محاسبه فاصله نوار نمونه‌ها، $(\alpha h\nu)^{1/m}$ در مقابل انرژی فoton $h\nu$ رسم می‌شود. این نمودار در بازه لبه جذب خطی خواهد بود. برای به دست آوردن فاصله نوار هر نمونه، یک خط مماس در فاصله لبه جذب بر منحنی رسم شد، محل تلاقی این خط با محور x برابر با Eg ، مقدار کاف انرژی، نمونه است. در شکل‌های ۶-الف و ۶-ب نمودارهای تاک برای محاسبه کاف انرژی ذره‌ها در گذارهای مجاز مستقیم و غیرمستقیم رسم شده است. مقادیر انرژی‌های محاسبه شده در شکل تعیین شد. همان‌گونه که مشاهده می‌شود با افزایش اندازه نانوساختارها کاف انرژی آن‌ها کاهش یافت. این مهم به دلیل افزایش تعداد اتم‌ها در ساختار ذره‌ها و شکل‌گیری ترازهای نقص است.

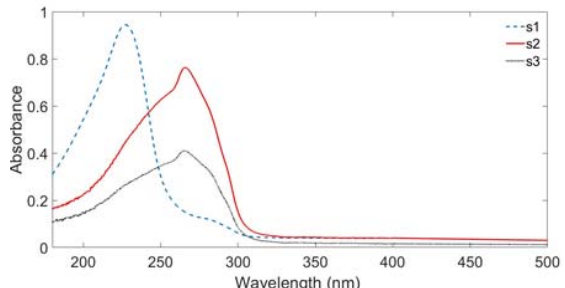
پادباکتری

نمونه‌ها با روش تیترشدن رقت سریال برای تعیین کمینه غلظت باکتریکشی و کمینه غلظت بازدارنده در برابر اشريشیاکلی و استافیلوکوکوس اورئوس بررسی شدند (جدول ۱). سازوکارهای اصلی فعالیت پادباکتری تولید گونه‌های فعال اکسیژن و آزادسازی یون‌های پادمیکروبی بیسموت، تماس مستقیم با دیواره‌های سلولی و تخریب سلول‌های باکتری است [۳۸]. برپایه نتیجه‌ها، به طور کلی افزایش غلظت لیگاند و اندازه نانوساختار موجب کاهش فعالیت پادباکتری شد. نمونه با مقدار 630 ، 60 گرم لیگاند، کمینه غلظت باکتریکشی و کمینه غلظت بازدارنده بیشتر نسبت به نمونه با غلظت 327 گرم را نشان داد.

طیف‌سنج مرئی- فرایندهای

انرژی کاف نوار را می‌توان برپایه طیف UV-Vis محاسبه کرد. در حقیقت انرژی مورد نیاز برای انتقال یک الکترون ظرفیتی متصل به اتم برای تبدیل شدن به یک الکترون رسانا با حرکت آزادانه در داخل شبکه بلوری، به عنوان حامل برای رسانای جریان الکتریکی عمل می‌کند. این انرژی ارتباط نزدیک با کاف HOMO/LUMO دارد. نمودارهای تاک^۱ برای تعیین انرژی کاف نوار مواد استفاده می‌شود [۳۷].

در این پژوهش، اثر غلظت لیگاند بر ویژگی‌های نوری نانوچندسازهای گرافن MOF مبتنی بر بیسموت مشاهده شد (شکل ۵). طیف نمونه‌های تولید شده در کووت‌های کوارتز ۱ سانتی‌متری با محیط مایع مربوط به عنوان مرجع ثبت شد. طیف جذب همه نمونه‌ها به دلیل انتقال لیگاند آلی $* \pi \rightarrow \pi$ به طور گستردگی در طول موج 300 تا 400 نانومتر به اوج خود رسید.



شکل ۵ طیف‌های جذب UV-Vis نانوچندسازهای گرافن MOF مبتنی بر بیسموت در غلظت‌های متفاوت لیگاند

انرژی‌های کاف نوار نانوچندسازهای از طیف‌های انتقال آن‌ها با به کارگیری قانون تاک استخراج شد (معادله ۱). این معادله رفتار ضریب جذب نمونه در لبه جذب آن را توصیف می‌کند.

$$(\alpha h\nu) = A(h\nu - Eg)^m \quad (1)$$

1. Tauc

معتکف کاظمی و همکاران

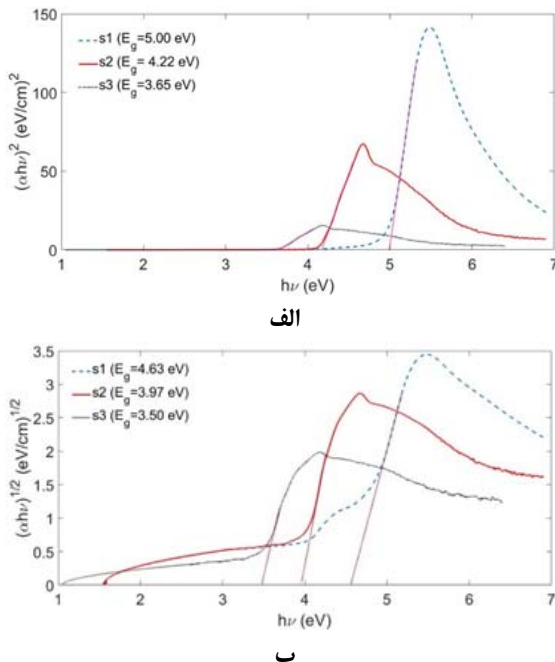
جدول ۱ فعالیت پادبacterی نانوچندسازهای گرافن-MOF
متبنی بر بیسموت با مقدارهای متفاوت لیگاند

| S.aureus (ATCC 25923) | | E.Coli (ATCC 25922) | | مقدار لیگاند (گرم) |
|-----------------------|-------------|---------------------|-------------|--------------------|
| MBC (µg/ml) | MIC (µg/ml) | MBC (µg/ml) | MIC (µg/ml) | |
| ۱/۰ | ۱/۰ | ۱/۰ | ۱/۰ | ۰.۳۲۷ |
| ۰.۵ | ۰.۵ | ۰.۵ | ۰.۵ | ۰.۶۳۰ |
| ۰.۵ | ۰.۵ | ۰.۵ | ۰.۵ | ۱.۲۲۱ |

نتیجه‌گیری

برای نخستین بار نانوچندسازهای گرافن چارچوب فلز--آلی متبنی بر بیسموت با روش کندگی لیزر در شرایط مایع در غلظت‌های متفاوت لیگاند سنتز شدند. گروههای عاملی نانوچندسازهای با تحلیل طیف‌های فروسرخ تبدیل فوریه شناسایی و ساختار بلوری نانوچندسازهای با الگوهای پراش پرتو ایکس تایید شد. ریخت نانوچندسازهای کروی شکل را تایید کردند. کاف نوار با طیفسنجی مرئی- فرابنفش بررسی شد و نتیجه‌ها بیانگر افزایش اندازه نانوساختار و کاف انرژی نمونه‌ها با افزایش غلظت لیگاند در آن‌ها بود. نانوچندسازهای گرافن-MOF متبنی بر بیسموت فعالیت پادبacterی نشان دادند. به‌طور کلی افزایش غلظت لیگاند موجب کاهش ویژگی پادبacterی شد. برپایه نتیجه‌ها روش کندگی لیزری به عنوان روشی سریع و دوستدار محیط‌زیست، مناسب برای تهیه نانوچندسازهای چارچوب فلز-آلی برای کاربردهای متفاوت است.

اما تفاوت معنی‌داری بین دو نمونه ۰,۶۳۰ و ۱,۲۲۱ گرم لیگاند وجود ندارد که به‌دلیل افزایش اندازه نانوساختار و عدم امکان تاثیر بر کمینه غلظت باکتری‌کشی و کمینه غلظت بازدارنده است.



شکل ۶ نمودارهای تاک برای استخراج انرژی کاف نوار نانوچندسازهای گرافن-MOF متبنی بر بیسموت در غلظت‌های متفاوت لیگاند

مراجع

- [1] Yan Z, Chrisey DB. Pulsed laser ablation in liquid for micro-/nanostructure generation. *J. Photochem. Photobiol.* 2012;13(3):204-223. doi: [10.1016/j.jphotochemrev.2012.04.004](https://doi.org/10.1016/j.jphotochemrev.2012.04.004)
- [2] Zhang D, Li Z, Sugioka K. Laser ablation in liquids for nanomaterial synthesis: Diversities of targets and liquids. *Journal of Physics: Photonics*. 2021;3(4):042002. doi: [10.1088/2515-7647/ac0bfd](https://doi.org/10.1088/2515-7647/ac0bfd)
- [3] Kitagawa S, Matsud R. Chemistry of coordination space of porous coordination polymers. *Coord. Chem. Rev.* 2007;251:2490-2509. doi: [10.1016/j.ccr.2007.07.009](https://doi.org/10.1016/j.ccr.2007.07.009)

- [4] Ferey G. Hybrid porous solids: past, present, future. *Chem. Soc. Rev.* 2008;37:191–214. doi: [10.1039/B618320B](https://doi.org/10.1039/B618320B)
- [5] Shyngys M, Ren J, Liang X, Miao J, Blocki A, Beyer S. Metal-organic framework (MOF)-based biomaterials for tissue engineering and regenerative medicine. *Front. Bioeng. Biotechnol.* 2021;9:1-9. doi: [10.3389/fbioe.2021.603608](https://doi.org/10.3389/fbioe.2021.603608).
- [6] Miri B, Motakef-Kazemi N, Shojaosadati SA, Morsali A. Application of a nanoporous metal organic framework based on iron carboxylate as drug delivery system. *Iran J Pharm Res.* 2018;17(4):1164-1171.
- [7] Hu Z, Deibert BJ, Li J. Luminescent metal-organic frameworks for chemical sensing and explosive detection. *Chem Soc Rev.* 2014;43:5815–5840. doi: [10.1039/C4CS00010B](https://doi.org/10.1039/C4CS00010B)
- [8] Vardali SC, Manousi N, Barczak M, Giannakoudakis DA. Novel approaches utilizing metal-organic framework composites for the extraction of organic compounds and metal traces from fish and seafood. *Molecules*. 2020;25:513. doi: [10.3390/molecules25030513](https://doi.org/10.3390/molecules25030513)
- [9] Jensen S, Tan K, Lustig W, Kilin D, Li J, Chabal YJ, Thonhauser T. Quenching of photoluminescence in a Zn-MOF sensor by nitroaromatic molecules. *J. Mater. Chem. C*. 2019;7:2625-2632. doi: [10.1039/C8TC06281A](https://doi.org/10.1039/C8TC06281A)
- [10] Sun H, Cong S, Zheng Z, Wang Z, Chen Z, Zhao Z. Metal-organic frameworks as surface enhanced raman scattering substrates with high tailorability. *J. Am. Chem. Soc.* 2019;141:870–878. doi: [10.1021/jacs.8b09414](https://doi.org/10.1021/jacs.8b09414)
- [11] Ghouchian F, Motakef-Kazemi N, Ghasemi E, Ziyadi H. Zn-based MOF-chitosan- Fe_3O_4 nanocomposite as an effective nano-catalyst for azo dye degradation. *J Environ Chem Eng.* 2021;9(6):106388. doi: [10.1016/j.jece.2021.106388](https://doi.org/10.1016/j.jece.2021.106388)
- [12] Stavila V, Talin AA, Allendorf MD. MOF-based electronic and opto-electronic devices. *Chem. Soc. Rev.* 2014;43:5994-6010. doi: [10.1039/C4CS00096J](https://doi.org/10.1039/C4CS00096J)
- [13] Mehdmandoust MR, Motakef-Kazemi N, Ashouri F. Nitrate adsorption from aqueous solution by metal-organic framework MOF-5. *Iran. J. Sci. Technol. A.* 2019;43(2):443–449. doi: [10.1007/s40995-017-0423-6](https://doi.org/10.1007/s40995-017-0423-6)
- [14] Musyoka NM, Ren J, Langmi HW, North BC, Mathe M, Bessarabov D. Synthesis of rGO/Zr-MOF composite for hydrogen storage application. *J Alloy Compd.* 2017;724:450-455. doi: [10.1016/j.jallcom.2017.07.040](https://doi.org/10.1016/j.jallcom.2017.07.040)
- [15] Li JR, Sculley J, Zhou HC. Metal-organic frameworks for separations. *Chem Rev.* 2012;112:869–932. doi: [10.1021/cr200190s](https://doi.org/10.1021/cr200190s)
- [16] Motakef-Kazemi N, Rashidian M, Taghizadeh Dabbagh S, Yaqoubi M. Synthesis and characterization of bismuth oxide nanoparticle by thermal decomposition of bismuth-based MOF and evaluation of its nanocomposite. *IJCCE*. 2020;40(1):11-19. doi: [10.30492/ijcce.2019.37263](https://doi.org/10.30492/ijcce.2019.37263)
- [17] Wyszogrodzka G, Marszałek B, Gil B, Dorożyński P. Metal-organic frameworks: Mechanisms of antibacterial action and potential applications. *Drug Discov.* 2016;21(6):1009-1018. doi: [10.1016/j.drudis.2016.04.009](https://doi.org/10.1016/j.drudis.2016.04.009)
- [18] Stock N, Biswas S. Synthesis of metal-organic frameworks (MOFs): Routes to various MOF topologies, morphologies, and composites. *Chem. Rev.* 2012;112(2):933-969. doi: [10.1021/cr200304e](https://doi.org/10.1021/cr200304e)
- [19] Motakef-Kazemi N, Ataei F, Dorranian D. Synthesis and evaluation of copper-imidazole MOF nanostructures and its graphene nanocomposites by pulsed laser ablation method in liquid. *Optical and Quantum Electronics*. 2023;55:921. doi: [10.1007/s11082-023-04775-z](https://doi.org/10.1007/s11082-023-04775-z)
- [20] Ataei F, Dorranian D, Motakef-Kazemi N. Synthesis of MOF-5 nanostructures by laser ablation method in liquid and evaluation of its properties. *J. Mater. Sci.: Mater. Electron.* 2021;32:3819-3833. doi: [10.1007/s10854-020-05126-4](https://doi.org/10.1007/s10854-020-05126-4)
- [21] Ataei F, Dorranian D, Motakef-Kazemi N. Bismuth-based metal-organic framework prepared by pulsed laser ablation method in liquid. *JTAP*. 2020;14:1-8. doi: [10.1007/s40094-020-00397-y](https://doi.org/10.1007/s40094-020-00397-y)

- [22] Campello SL, Gentil G, Júnior SA, de Azevedo WM. Laser ablation: A new technique for the preparation of metal-organic frameworks Cu₃(BTC)₂(H₂O)₃. Mater. 2015;148:200-203. doi: [10.1016/j.matlet.2015.01.159](https://doi.org/10.1016/j.matlet.2015.01.159)
- [23] Maria Menezes Madeiro da Costa O, de Azevedo WM. Highly luminescent metal organic framework Eu(TMA)(H₂O)₄ materials prepared by laser ablation technique in liquid. J Lumin. 2016;170:648-653. doi: [10.1016/j.jlumin.2015.09.004](https://doi.org/10.1016/j.jlumin.2015.09.004)
- [24] Ribeiro EL, Davari SA, Hu S, Mukherjee D, Khomami B. Laser-induced synthesis of ZIF-67: A facile approach for the fabrication of crystalline MOFs with tailored size and geometry. Mater Chem Front. 2019;3:1302-1309. doi: [10.1039/C8QM00671G](https://doi.org/10.1039/C8QM00671G)
- [25] Abdi S, Dorranian D. Effect of CTAB concentration on the properties of ZnO nanoparticles produced by laser ablation method in CTAB solution. Opt Laser Technol. 2018;108:372-377. doi: [10.1016/j.optlastec.2018.07.009](https://doi.org/10.1016/j.optlastec.2018.07.009)
- [26] Solati E, Dorranian D. Effect of temperature on the characteristics of ZnO nanoparticles produced by laser ablation in water. Bull Mater Sci. 2016; 39:1677-1684. doi: [10.1007/s12034-016-1315-7](https://doi.org/10.1007/s12034-016-1315-7)
- [27] Ebrahim Jasbi N, Solati E, Dorranian D. Role of laser fluence in decoration of graphene nanosheets with TiO₂ nanoparticles by pulsed laser ablation method. J. Alloys Compd. 2021;861:157956. doi: [10.1016/j.jallcom.2020.157956](https://doi.org/10.1016/j.jallcom.2020.157956)
- [28] Zhang K, Xieb A, Sunb M, Jiangc W, Wub F, Dong W. Electromagnetic dissipation on the surface of metal organic framework (MOF)/reduced graphene oxide (RGO) hybrids. Mater Chem Phys. 2017;199:340-347. doi: [10.1016/j.matchemphys.2017.07.026](https://doi.org/10.1016/j.matchemphys.2017.07.026)
- [29] Wang Z, Zeng Z, Wang H, Zeng GM, Xu P, Xiao R, Huang D, Chen S, He Y, Zhou C, Cheng M, Qin H. Bismuth-based metal-organic frameworks and their derivatives: Opportunities and challenges. Coord. Chem. Rev. 2021 ;439:213902. doi: [10.1016/j.ccr.2021.213902](https://doi.org/10.1016/j.ccr.2021.213902)
- [30] Wang QX, Li G. Bi(iii) MOFs: syntheses, structures and applications. Inorg. Chem. Front. 2021;8:572-589. doi: [10.1039/D0QI01055C](https://doi.org/10.1039/D0QI01055C)
- [31] Wang G, Liu Y, Huang B, Qin X, Zhang Z, Dai Y. A novel metal-organic framework based on bismuth and trimesic acid: Synthesis, structure and properties. Dalton Trans. 2015;44:16238. doi: [10.1039/C5DT03111G](https://doi.org/10.1039/C5DT03111G)
- [32] Çiplak Z, Yıldız N, Çalımlı A. Investigation of graphene/Ag nanocomposites synthesis parameters for two different synthesis methods. Fuller. Nanotub. Car N. 2014;3(4):361-370. doi: [10.1080/1536383X.2014.894025](https://doi.org/10.1080/1536383X.2014.894025)
- [33] Tuz Johra F, Wook Lee J, Jung WG. Facile and safe graphene preparation on solution based platform. J Ind Eng Chem. 2014;20(5):2883-2887. doi: [10.1016/j.jiec.2013.11.022](https://doi.org/10.1016/j.jiec.2013.11.022)
- [34] Siburian R, Sihotang H, Lumban Raja S, Supeno M, Simanjuntak C. New route to synthesize of graphene nano sheets. Orient. J. Chem. 2018;34(1):182-187. doi: [10.13005/ojc/340120](https://doi.org/10.13005/ojc/340120)
- [35] Ganash EA, Al-Jabarti GA, Altuwirqi RM. he Synthesis of carbon-based banomaterials by pulsed laser ablation in water. Mater Res Express. 2020;7:015002. doi: [10.1088/2053-1591/ab572b](https://doi.org/10.1088/2053-1591/ab572b)
- [36] Kaczmarek A, Hoffman J, Morgiel J, Mo'sicki T, Stobinski L, Szymanski Z, Małolepszy A. Luminescent carbon dots synthesized by the laser ablation of graphite in polyethylenimine and ethylenediamine. Materials. 2021;14:729. doi: [10.3390/ma14040729](https://doi.org/10.3390/ma14040729)
- [37] Makula P, Pacia M, Macyk W. How to correctly determine the band gap energy of modified semiconductor photocatalysts based on UV-Vis spectra. J Phys Chem Lett. 2018;9:6814-6817. doi: [10.1021/acs.jpcllett.8b02892](https://doi.org/10.1021/acs.jpcllett.8b02892)
- [38] Hajishrafi S, Motakef-Kazemi N. Preparation and evaluation of ZnO nanoparticles by thermal decomposition of MOF-5. Heliyon. 2019 ;5:e02152. doi: [10.1016/j.heliyon.2019.e02152](https://doi.org/10.1016/j.heliyon.2019.e02152)

Preparation of nanocomposites of graphene-metal-organic framework based on bismuth by laser ablation in liquid and investigation of optical properties and antibacterial activities of them

N. Motakef-Kazemi^{1,*}, F. Ataei², D. Dorranian³

1. Associate Prof. of Department of Medical Nanotechnology, Faculty of Advanced Sciences and Technology, Tehran Medical Sciences, Islamic Azad University, Tehran, Iran.
2. Ph.D of Laser Lab, Plasma Physics Research Center, Science and Research Branch, Islamic Azad University, Tehran, Iran.
3. Professor of Laser Lab, Plasma Physics Research Center, Science and Research Branch, Islamic Azad University, Tehran, Iran.

Abstract: Pulsed laser ablation (PLA) was used for the first time to synthesis graphene nanocomposites and bismuth-based metal-organic framework (Bi-MOF) in liquid environment. In this work, Bi-MOF nanostructures were synthesized by laser ablation of bismuth target as a connector center, benzene-1,3,5-tricarboxylic acid (BTC) as a bridging ligand, and methanol (MeOH) and dimethylformamide (DMF) as a solvent. In the first step, three samples of Bi-MOF nanostructures were produced in three different ligand concentrations. Then MOF-graphene nanocomposites were produced by Nd:YAG pulsed laser ablation of graphite target in the three obtained Bi-MOF nanostructures samples. The nanocomposites were characterized by X-ray diffraction (XRD) to study the crystal structure, Fourier transform infrared (FTIR) spectroscopy to determine functional groups, field emission scanning electron microscopy (FESEM) and transmission electron microscopy (TEM) to present the morphology, ultraviolet-visible (UV-Vis) spectroscopy to evaluate the band gap of the samples. The antibacterial activity of the samples was evaluated against Escherichia coli (E. coli) as Gram-negative bacterium and Staphylococcus aureus (S. aureus) as Gram-positive bacterium. Based on the results, pulsed laser ablation is an environmentally friendly method that is able to produce MOF-graphene nanocomposites in a short period of time, and these nanostructures can be widely used, including in neutralizing harmful bacteria.

Keywords: Laser ablation, Metal-organic framework, Graphene, Nanocomposite.

* Corresponding author Email:

motakef@iaups.ac.ir